
INF2310 – Digital bildebehandling

FORELESNING 8

REPETISJON: FILTRERING I BILDEDOMENET

Andreas Kleppe

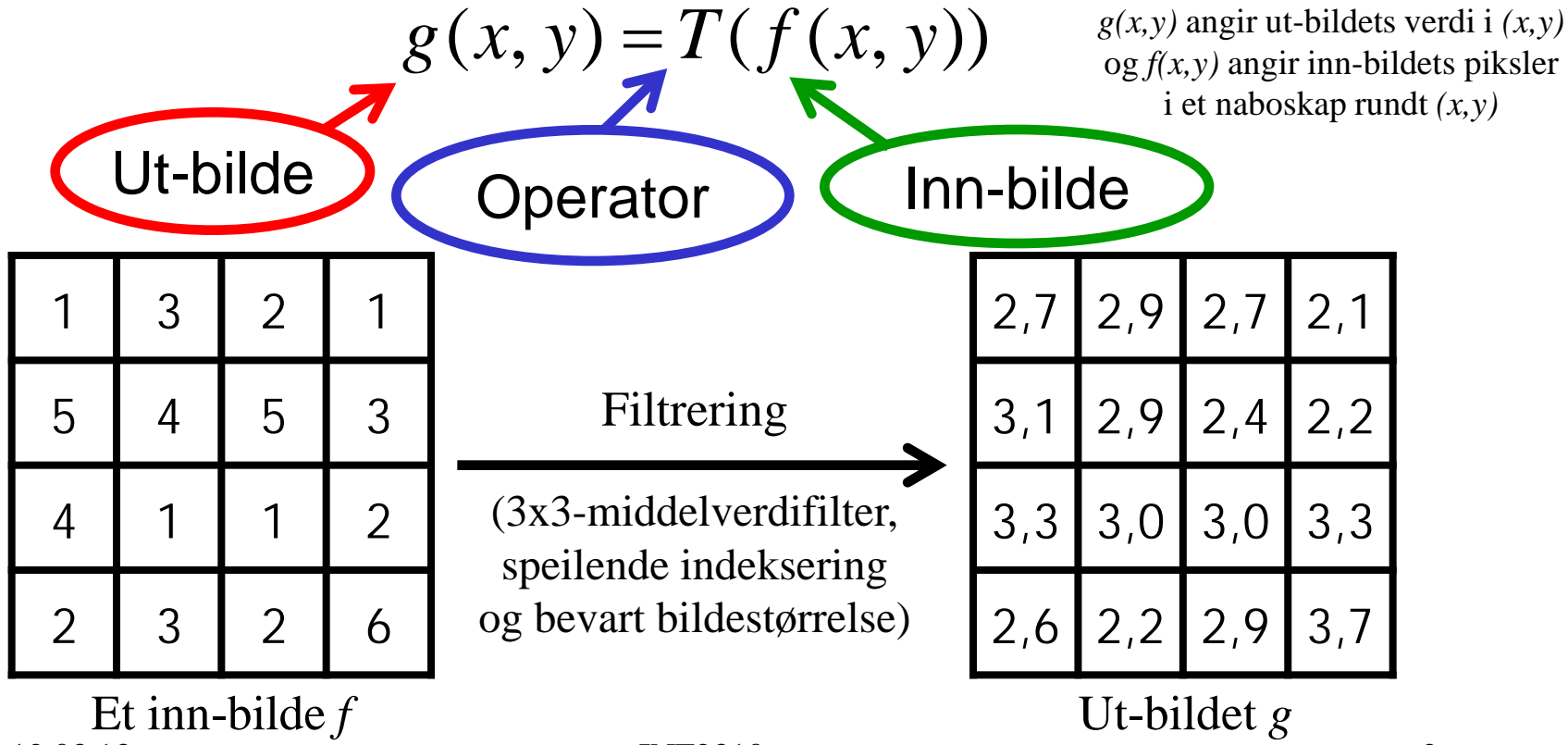
Filtrering og konvolusjon

Lavpassfiltrering og kant-bevaring

Høypassfiltrering: Bildeforbedring og kantdeteksjon

Filtrering i bildedomenet

- Anvendelsen av en **operator** som beregner ut-bildets verdi i hvert piksel (x,y) ved bruk av inn-bildets piksler i et **naboskap** rundt (x,y) .



2D-konvolusjon

- Konvolusjon av et filter h og et bilde f :

$$\begin{aligned}(h * f)(x, y) &= \sum_{s=-a}^a \sum_{t=-b}^b h(s, t) f(x-s, y-t) \\ &= \sum_{s=x-a}^{x+a} \sum_{t=y-b}^{y+b} h(x-s, y-t) f(s, t)\end{aligned}$$

evaluert for alle (x, y) slik at hver verdi av h overlapper hver verdi av f .

- Responsen i (x, y) er en **veiet sum av inn-bildets verdier**.
 - Konvolusjonsfilteret spesifiserer vektene.
 - h kan spesifiseres som en matrise!

For å forenkle notasjonen, antar disse formlene at:

- h har odde lengder, $m = 2a+1$ og $n = 2b+1$.
- Senterpikselet er naboskapets origo.

Konvolusjon krever ikke disse antagelsene.

1/9	1/9	1/9
1/9	1/9	1/9
1/9	1/9	1/9

3x3-middelverdifilter

2D-konvolusjons-eksempel

Oppgave: Konvolver følgende filter og bilde:

1/9	1/9	1/9
1/9	1/9	1/9
1/9	1/9	1/9

3x3-middelverdifilter

1	3	2	1
5	4	5	3
4	1	1	2
2	3	2	6

Inn-bilde f

2D-konvolusjons-eksempel

Steg 1: Roter filteret 180 grader.

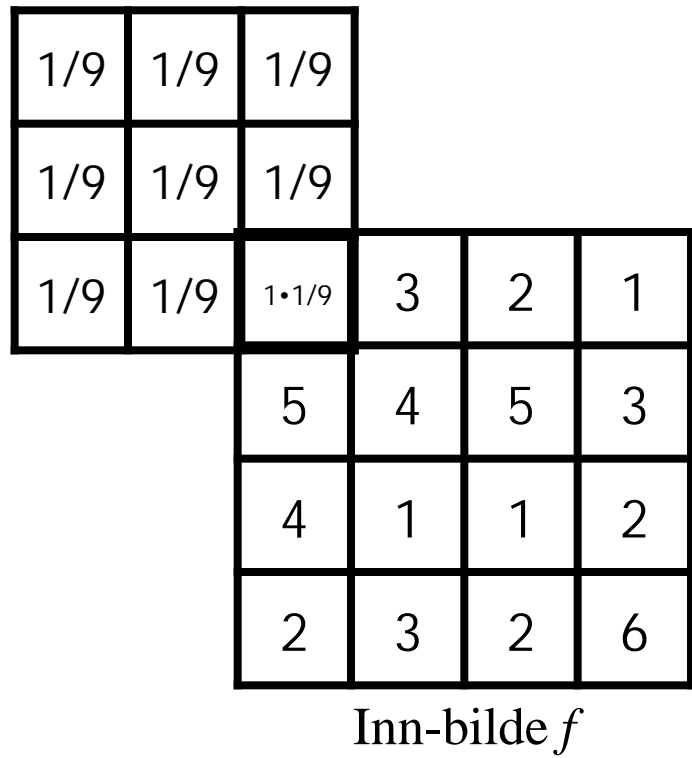
Ikke nødvendig her ettersom filteret er symmetrisk.

1/9	1/9	1/9
1/9	1/9	1/9
1/9	1/9	1/9

3x3-middelverdifilteret
er symmetrisk

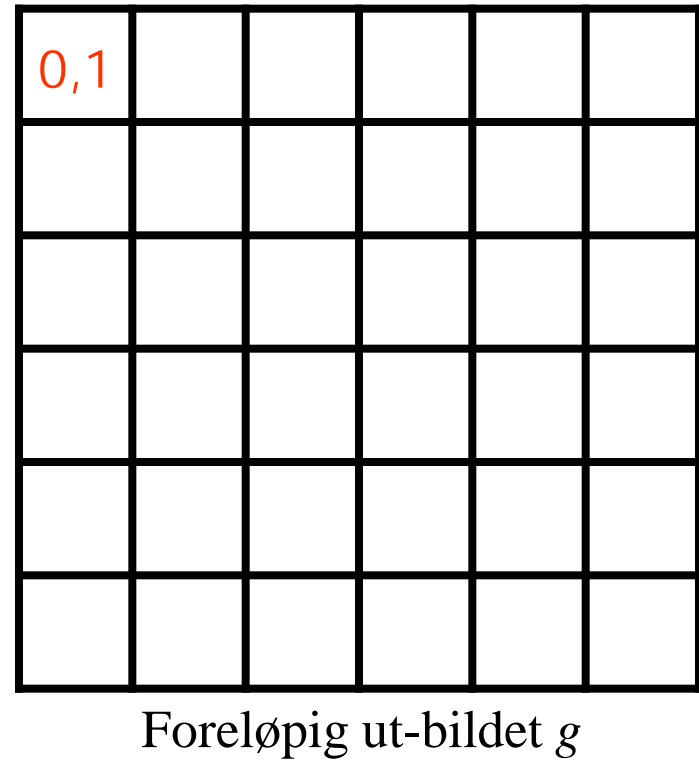
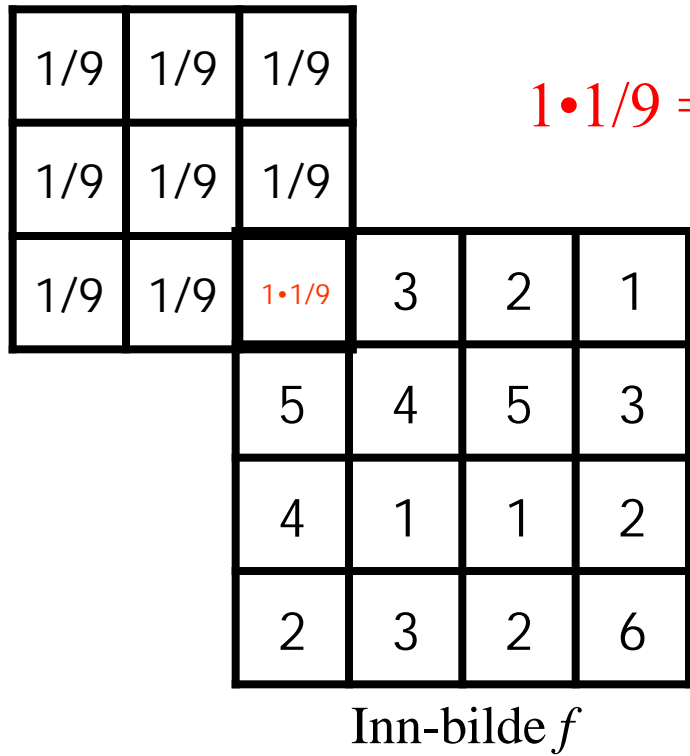
2D-konvolusjons-eksempel

Steg 2: Legg det roterte filteret over først posisjon der filteret og bildet overlapper.



2D-konvolusjons-eksempel

Steg 3: Multipliser filterets vekter med verdiene av de overlappende pikslene i bildet.
Responsen er summen av produktene.



2D-konvolusjons-eksempel

Steg 4: Gjenta 3 for neste overlapp. Ikke flere: ferdig!

Steg 3: Multipliser filterets vekter med verdiene av de overlappende pikslene i bildet og summer.

1/9	1/9	1/9		
1/9	1/9	1/9		
1/9	$1 \cdot 1/9$	$3 \cdot 1/9$	2	1
	5	4	5	3
	4	1	1	2
	2	3	2	6

Inn-bilde f

$$\begin{aligned} & 1 \cdot 1/9 + 3 \cdot 1/9 \\ & = 4/9 \approx 0,4 \end{aligned}$$

0,1	0,4			

Foreløpig ut-bildet g

2D-konvolusjons-eksempel

... fjorten steg 3 senere:

Steg 3: Multipliser filterets vekter med verdiene av de overlappende pikslene i bildet og summer.

1	$3 \cdot 1/9$	$2 \cdot 1/9$	$1 \cdot 1/9$
5	$4 \cdot 1/9$	$5 \cdot 1/9$	$3 \cdot 1/9$
4	$1 \cdot 1/9$	$1 \cdot 1/9$	$2 \cdot 1/9$
2	3	2	6

Inn-bilde f

$$\begin{aligned} & 3 \cdot 1/9 + 2 \cdot 1/9 + 1 \cdot 1/9 + \\ & 4 \cdot 1/9 + 5 \cdot 1/9 + 3 \cdot 1/9 + \\ & 1 \cdot 1/9 + 1 \cdot 1/9 + 2 \cdot 1/9 \\ & = 22/9 \approx 2,4 \end{aligned}$$

0,1	0,4	0,7	0,7	0,3	0,1
0,7	1,4	2,2	2,0	1,2	0,4
1,1	2,0	2,9	2,4		

Foreløpig ut-bildet g

2D-konvolusjons-eksempel

... og etter tjue steg 3 til:

Steg 4: Gjenta 3 for neste overlapp. Ikke flere: **ferdig!**

Løsningen er:

1/9	1/9	1/9
1/9	1/9	1/9
1/9	1/9	1/9

*

1	3	2	1
5	4	5	3
4	1	1	2
2	3	2	6

Inn-bilde f

=

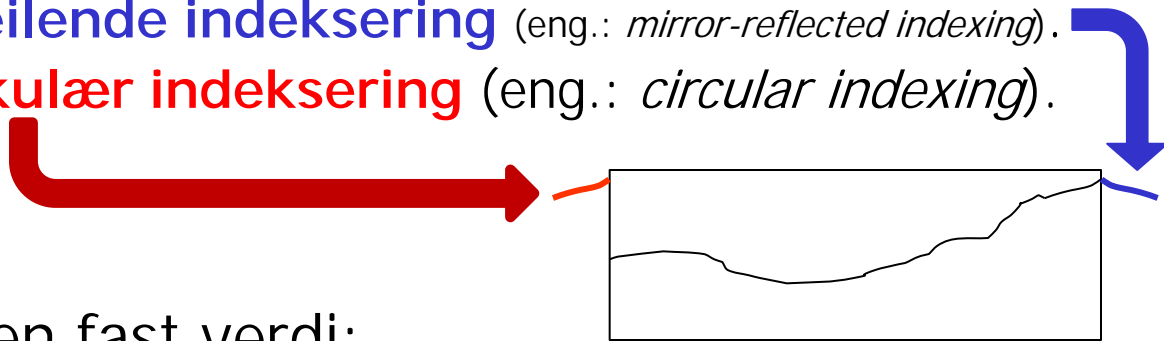
0,1	0,4	0,7	0,7	0,3	0,1
0,7	1,4	2,2	2,0	1,2	0,4
1,1	2,0	2,9	2,4	1,6	0,7
1,2	2,1	3,0	3,0	2,1	1,2
0,7	1,1	1,4	1,7	1,2	0,9
0,2	0,6	0,8	1,2	0,9	0,7

Ut-bildet g

3x3-middelverdifilter

Hva gjør vi langs bilderanden?

- Utvid inn-bildet:
 - **VANLIG**: Med 0-ere (nullutvidelse, eng.: *zero padding*).
 - Med en annen fast verdi.
 - Med nærmeste pikselverdi (eng.: *replicate*).
 - Ved bruk av **speilende indeksering** (eng.: *mirror-reflected indexing*).
 - Ved bruk av **sirkulær indeksering** (eng.: *circular indexing*).
- Sett ut-bildet til en fast verdi:
 - F.eks. $g(x,y) = 0$ eller $g(x,y) = f(x,y)$.
- Ignorer posisjonene uten overlapp.
 - Identisk resultat som nullutvidelse for konvolusjonsfiltre.



Hvor stort skal ut-bildet være?

- Trunkér ut-bildet
 - Bare behold piksler der hele filteret er innenfor inn-bildet.
- Behold inn-bildets størrelse
 - Bare behold piksler der filterorigo er innenfor inn-bildet.
 - Vanlig når man filtrerer et bilde.
 - Langs randen må vi gjøre en antagelse, se foilen to før.
- Utvid inn-bildets størrelse
 - Behold alle piksler der filteret og «inn-bildet» har overlapp.
 - Svært uvanlig utenom for konvolusjon av to filtre.
 - Langs randen må vi gjøre en antagelse, se foilen to før.
- Merk: Dette gjelder **all filtrering**, ikke bare konvolusjon!

Lavpassfiltre

- Slipper gjennom lave frekvenser og demper eller fjerner høye frekvenser.
 - Lav frekvenser = trege variasjoner, store trender.
 - Høye frekvenser = skarpe kanter, støy, detaljer.
 - ... mye mer om frekvens i Fourier-forelesningene.
- Effekt: **Glatting**/utsmøring/«blurring» av bildet.
- Typiske mål: Fjerne støy, finne større objekter.
- **Utfordring:** Bevare kanter.

Middelverdifilter (lavpass)

- Beregner middelverdien i naboskapet.
 - Alle vektene er like.
 - Vektene summerer seg til 1.
 - Gjør at den lokale gjennomsnittsverdien bevares.
- Størrelsen på filteret avgjør graden av glatting.
 - Stort filter: mye glatting (utsmørt bilde).
 - Lite filter: lite glatting, men kanter bevares bedre.

$$\frac{1}{9} \begin{bmatrix} 1 & 1 & 1 \\ 1 & 1 & 1 \\ 1 & 1 & 1 \end{bmatrix}$$

$$\frac{1}{25} \begin{bmatrix} 1 & 1 & 1 & 1 & 1 \\ 1 & 1 & 1 & 1 & 1 \\ 1 & 1 & 1 & 1 & 1 \\ 1 & 1 & 1 & 1 & 1 \\ 1 & 1 & 1 & 1 & 1 \end{bmatrix}$$

$$\frac{1}{49} \begin{bmatrix} 1 & 1 & 1 & 1 & 1 & 1 & 1 \\ 1 & 1 & 1 & 1 & 1 & 1 & 1 \\ 1 & 1 & 1 & 1 & 1 & 1 & 1 \\ 1 & 1 & 1 & 1 & 1 & 1 & 1 \\ 1 & 1 & 1 & 1 & 1 & 1 & 1 \\ 1 & 1 & 1 & 1 & 1 & 1 & 1 \\ 1 & 1 & 1 & 1 & 1 & 1 & 1 \end{bmatrix}$$

Separable filtre

- Et filter kalles separabelt hvis **filtreringen kan utføres som to sekvensielle 1D-filtreringer**.
- Fordel: **Raskere filtrering**.
- Geometrisk form: Rektangel (inkludert kvadrat).
- Middelverdifiltre er separable: For 5x5-naboskap:

$$h(i, j) = \frac{1}{25} \begin{bmatrix} 1 & 1 & 1 & 1 & 1 \\ 1 & 1 & 1 & 1 & 1 \\ 1 & 1 & 1 & 1 & 1 \\ 1 & 1 & 1 & 1 & 1 \\ 1 & 1 & 1 & 1 & 1 \end{bmatrix} = \frac{1}{25} [1 \ 1 \ 1 \ 1 \ 1] * \begin{bmatrix} 1 \\ 1 \\ 1 \\ 1 \\ 1 \end{bmatrix}$$

- Beregne én respons for $n \times n$ -konvolusjonsfiltre:
 - 2D-konvolusjon: n^2 multiplikasjoner og $n^2 - 1$ addisjoner.
 - To 1D-konvolusjoner: $2n$ multiplikasjoner og $2(n-1)$ addisjoner.

Approksimasjon av 3x3-Gauss-filter

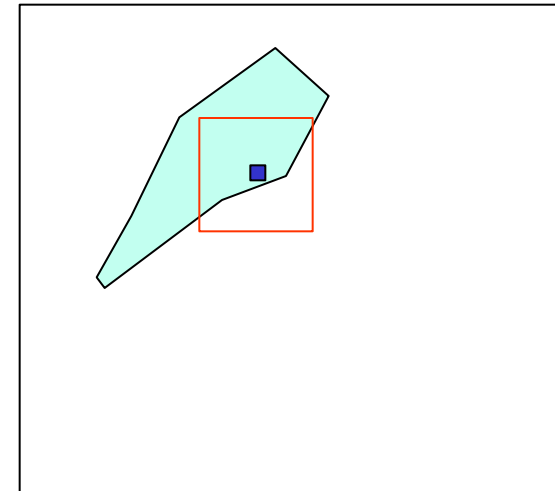
$$\begin{aligned} G_{3 \times 3} &= \frac{1}{16} \begin{bmatrix} 1 \\ 1 \end{bmatrix} * \begin{bmatrix} 1 & 1 \end{bmatrix} * \begin{bmatrix} 1 \\ 1 \end{bmatrix} * \begin{bmatrix} 1 & 1 \end{bmatrix} \\ &= \frac{1}{16} \begin{bmatrix} 1 & 1 \\ 1 & 1 \end{bmatrix} * \begin{bmatrix} 1 & 1 \\ 1 & 1 \end{bmatrix} \\ &= \frac{1}{16} \begin{bmatrix} 1 & 2 & 1 \\ 2 & 4 & 2 \\ 1 & 2 & 1 \end{bmatrix} \\ &= \frac{1}{16} \begin{bmatrix} 1 \\ 2 \\ 1 \end{bmatrix} * \begin{bmatrix} 1 & 2 & 1 \end{bmatrix} \end{aligned}$$

Tilsvarer en
geometrisk vektning:

- Vekten til et piksel er en funksjon av avstanden til (x,y) .
- Nære piksler er mer relevante og gis derfor større vekt.

Kant-bevarende støyfiltrering

- Ofte lavpassfiltrerer vi for å **fjerne støy**, men ønsker samtidig å **bevare kanter**.
- Det finnes et utall av «kantbevarende» filtre.
- Men det er et system:
 - Tenker at vi har flere piksel-populasjoner i naboskapet rundt (x,y) , f.eks. to:
 - Sub-optimalt å bruke all pikslene.
- Vi kan sortere pikslene:
 - Radiometrisk (etter pikselverdi)
 - Både geometrisk (etter pikselposisjon) og radiometrisk



Middelverdi eller median?



Inn-bilDET med tyDELIG
salt-og-pepper-støy

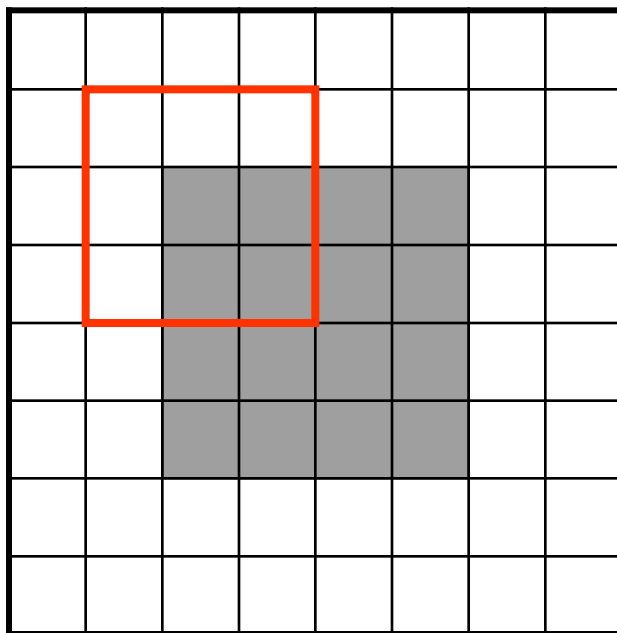


Etter
middelverdifiltrering

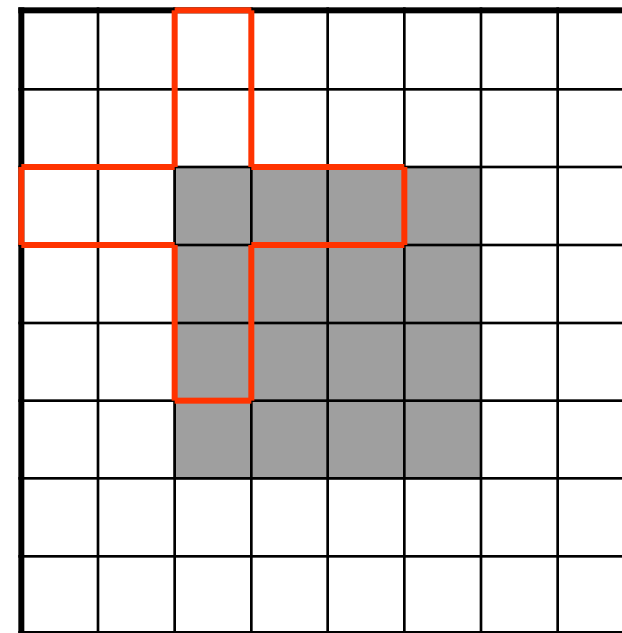


Etter
medianfiltrering

Medianfiltrering og hjørner



Med kvadratisk naboskap
avrundes hjørnene



Med pluss-formet naboskap
bevares hjørnene

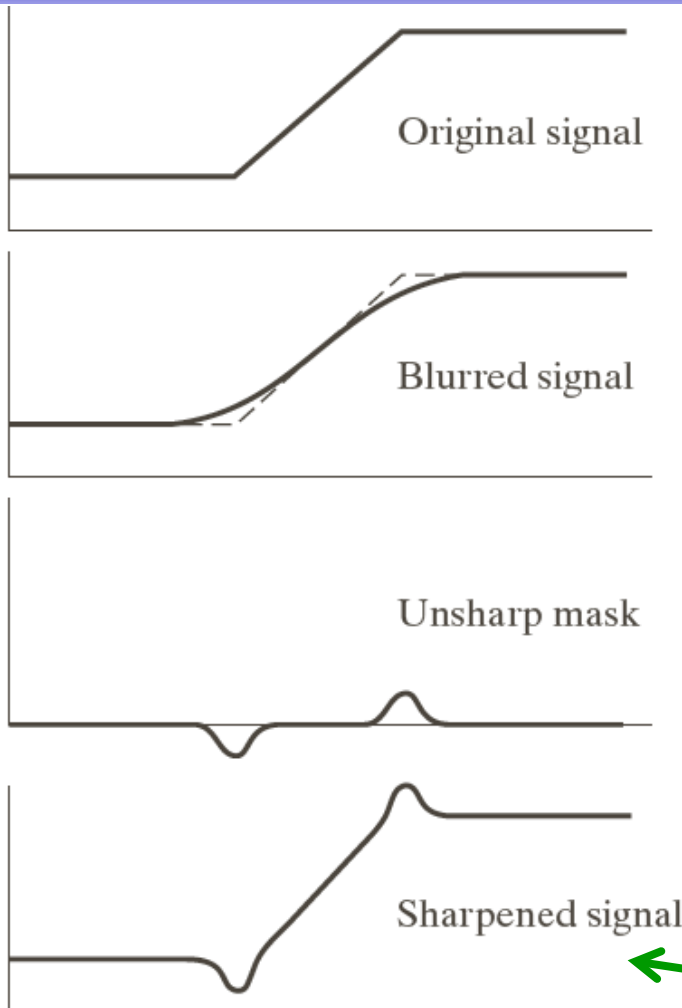
Kant-bevarende støyfiltrering

- Trimmet middelverdifilter:
 - Alpha-trimmet middelverdifilter (radiometrisk sortering):
 $g(x,y)$ = middelverdien av de $mn-d$ midterste verdiene (etter sortering) i mxn -naboskapet rundt (x,y) .
 - K Nearest Neighbour-filter (radiometrisk sortering):
 $g(x,y)$ = middelverdien av de K pikslene i naboskapet rundt (x,y) som ligner mest på (x,y) i pikselverdi.
 - K Nearest Connected Neighbour-filter (også geometrisk):
 K Nearest Neighbour-filter med uendelig stort naboskap og der de valgte pikslene er tilkoblet ut-posisjonen (x,y) .
 - Max-homogenitet-filter (også geometrisk):
 $g(x,y)$ = middelverdien av det mest homogene sub-naboskapet.
 - Symmetrisk nærmeste nabo-filter (også geometrisk):
 $g(x,y)$ = middelverdien av de mest lignende fra hvert symmetrisk piksel-par rundt (x,y) .
- MinimalMeanSquareError-filter: Nær middelverdien når lokal varians tilsvarer anslått støyvariens (en parameter), ellers nær uendret.

Høypassfiltre

- Slipper gjennom høye frekvenser, og demper eller fjerner lave frekvenser.
 - Typisk fjernes den aller laveste frekvensen helt, d.v.s. at homogene områder får ut-verdi 0.
- Effekt:
 - Demper langsomme variasjoner, f.eks. bakgrunn.
 - Fremhever skarpe kanter, linjer og detaljer.
- Typiske mål: «Forbedre» skarpheten, detektere kanter.
- Q: Hva skjer med støy?

Unsharp masking og highboost-filtrering



G&W fig. 3.39

- Gitt et bilde (original):
(til venstre: et 1D-bilde av en rampe)

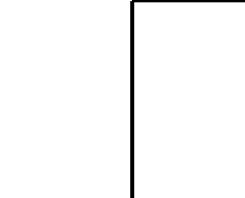
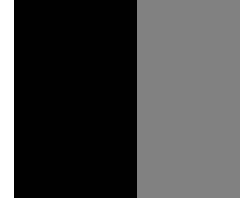
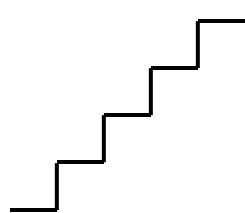
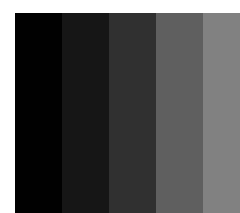
1. Lavpassfiltrer.
(til høyre er originalen stiplet)

2. Beregn differansen:
original – filtrering

3. Resultatet er:
original + k • differansen

- k er en positiv konstant.
- **Unsharp masking:** $k = 1$ (brukt til høyre)
- **Highboost-filtrering:** $k > 1$

Intensitets-flater, -kanter og -linjer

- **Homogen flate**: Et område der alle pikselverdiene er like. 
- **Kant**: Overgangen mellom to områder med forskjellig middelverdi.
 - **Steg-kant**: En-piksels overgang. 
 - **Rampe**: Fler-piksels overgang med konstant intensitetsendring (d.v.s. konstant gradient).
- «Kant» brukes også om skillepunktet mellom de to områdene.
 - Forskjellige måter å modellere hvor skiller er.
 - For steg-kanter:
 - Et alternativ er midt mellom nabo-piksler som tilhører forskjellig områder.
 - I segmentering ønsker man typisk å finne første piksel på siden som tilhører objektet.
- Merk at en **linje** består av **to** kanter. 
- Idealstrukturer er nyttig for modellering, men i praksis finner vi oftest strukturer som bare ligner.

Digital derivasjon

- En kant kjennetegnes ved **endring i intensitetsverdi**.
 - Siden en intensitetskant er overgangen mellom to områder med forskjellig middelverdi, så må intensiteten endres i kanten.
- Den **deriverte** av en funksjon $f(x)$ er definert som:
$$\lim_{h \rightarrow 0} \frac{f(x+h) - f(x)}{h}$$
og angir stigningstallet til f i punktet x ,
så $|f'(x)|$ angir hvor mye f endrer seg i punktet x .
- Den deriverte er **ikke definert** for diskrete funksjoner, men vi kan **tilnærme** den ved å la $h \geq 1$ i definisjonen.
 - Tilnærme v.b.a. **differanser mellom nærliggende piksler**.

Derivasjon av bilder

- Et digitalt bilde er en to-variabel, diskret funksjon.
- En kontinuerlig funksjon $f(x, y)$ kan deriveres m.h.p. x og y .
 - Kalles å partiell-derivere m.h.p. x og y .
 - Betegnes henholdsvis $\partial f(x, y)/\partial x$ og $\partial f(x, y)/\partial y$
- Vektoren av de to partiell-deriverte kalles **gradienten** og betegnes ∇f :

$$\nabla f = \begin{bmatrix} \frac{\partial f}{\partial x} \\ \frac{\partial f}{\partial y} \end{bmatrix}$$

Gradient \perp Kant

- Gradienten peker i retningen der funksjonen øker mest og kanten går vinkelrett på gradienten.

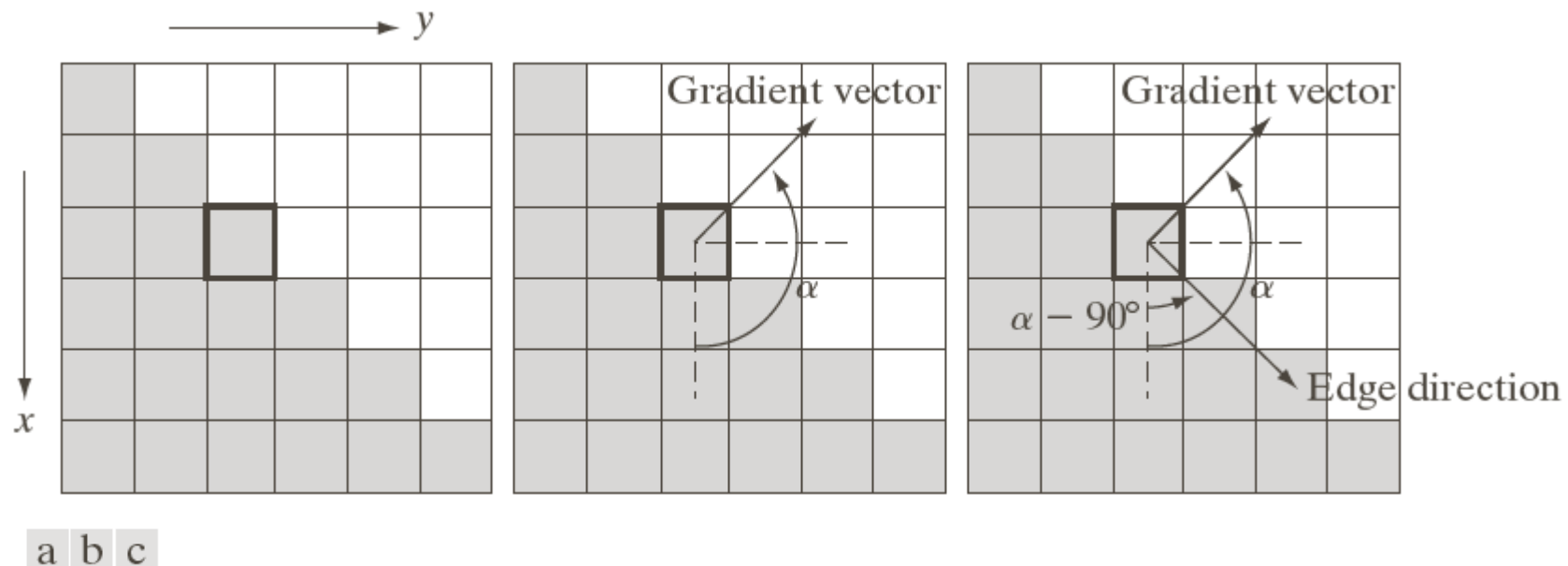


FIGURE 10.12 Using the gradient to determine edge strength and direction at a point. Note that the edge is perpendicular to the direction of the gradient vector at the point where the gradient is computed. Each square in the figure represents one pixel.

Gradient-operatorer

- Asymmetrisk 1D-operator:

$$h_x(i, j) = \begin{bmatrix} 0 & 1 & 0 \\ 0 & -1 & 0 \\ 0 & 0 & 0 \end{bmatrix} \quad h_y(i, j) = \begin{bmatrix} 0 & 0 & 0 \\ 1 & -1 & 0 \\ 0 & 0 & 0 \end{bmatrix}$$

– Også kalt «pixel difference»-operatoren.

- Symmetrisk 1D-operator:

$$h_x(i, j) = \begin{bmatrix} 0 & 1 & 0 \\ 0 & 0 & 0 \\ 0 & -1 & 0 \end{bmatrix} \quad h_y(i, j) = \begin{bmatrix} 0 & 0 & 0 \\ 1 & 0 & -1 \\ 0 & 0 & 0 \end{bmatrix}$$

– Også kalt «separated pixel difference»-operatoren.

- Roberts-operatoren (også kalt Roberts kryssgradient-operator):

$$h_x(i, j) = \begin{bmatrix} 1 & 0 & 0 \\ 0 & -1 & 0 \\ 0 & 0 & 0 \end{bmatrix} \quad h_y(i, j) = \begin{bmatrix} 0 & 1 & 0 \\ -1 & 0 & 0 \\ 0 & 0 & 0 \end{bmatrix}$$

NB: Vi angir konvolusjonsfiltre i den tanke at de skal brukes til konvolusjon.

G&W angir filtermasker som skal brukes til korrelasjon.

Filtrene vil derfor avvike med en 180 graders rotasjon.

Gradient-operatorer

- Prewitt-operatoren:

$$h_x(i, j) = \begin{bmatrix} 1 & 1 & 1 \\ 0 & 0 & 0 \\ -1 & -1 & -1 \end{bmatrix} \quad h_y(i, j) = \begin{bmatrix} 1 & 0 & -1 \\ 1 & 0 & -1 \\ 1 & 0 & -1 \end{bmatrix}$$

NB: Vi angir konvolusjonsfiltre i den tanke at de skal brukes til konvolusjon.

G&W angir filtermasker som skal brukes til korrelasjon.

Filtrene vil derfor avvike med en 180 graders rotasjon.

- Sobel-operatoren:

$$h_x(i, j) = \begin{bmatrix} 1 & 2 & 1 \\ 0 & 0 & 0 \\ -1 & -2 & -1 \end{bmatrix} \quad h_y(i, j) = \begin{bmatrix} 1 & 0 & -1 \\ 2 & 0 & -2 \\ 1 & 0 & -1 \end{bmatrix}$$

- Frei-Chen-operatoren:

$$h_x(i, j) = \begin{bmatrix} 1 & \sqrt{2} & 1 \\ 0 & 0 & 0 \\ -1 & -\sqrt{2} & -1 \end{bmatrix} \quad h_y(i, j) = \begin{bmatrix} 1 & 0 & -1 \\ \sqrt{2} & 0 & -\sqrt{2} \\ 1 & 0 & -1 \end{bmatrix}$$

Større gradient-operatorer

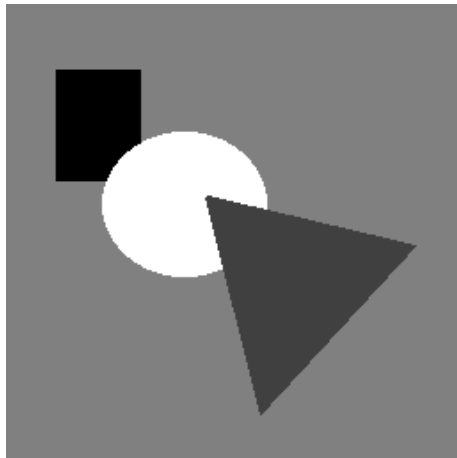
- De symmetriske gradient-operatorene kan gjøres mer støy-robuste ved å bygge inn mer lavpassfiltrering.
- Eksempel: Følgende 5×5 -Sobel-operator:

$$h_x(i, j) = \begin{bmatrix} 1 & 4 & 6 & 4 & 1 \\ 2 & 8 & 12 & 8 & 2 \\ 0 & 0 & 0 & 0 & 0 \\ -2 & -8 & -12 & -8 & -2 \\ -1 & -4 & -6 & -4 & -1 \end{bmatrix} \quad h_y(i, j) = \begin{bmatrix} 1 & 2 & 0 & -2 & -1 \\ 4 & 8 & 0 & -8 & -4 \\ 6 & 12 & 0 & -12 & -6 \\ 4 & 8 & 0 & -8 & -4 \\ 1 & 2 & 0 & -2 & -1 \end{bmatrix}$$

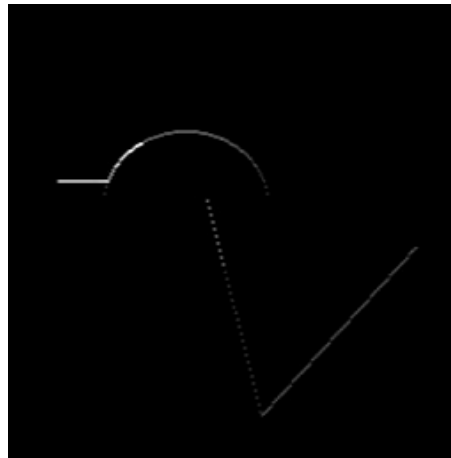
er resultatet av konvolusjonene:

$$h_x(i, j) = \begin{bmatrix} 1 & 2 & 1 \\ 0 & 0 & 0 \\ -1 & -2 & -1 \end{bmatrix} * \begin{bmatrix} 1 & 2 & 1 \\ 2 & 4 & 2 \\ 1 & 2 & 1 \end{bmatrix} \quad h_y(i, j) = \begin{bmatrix} 1 & 0 & -1 \\ 2 & 0 & -2 \\ 1 & 0 & -1 \end{bmatrix} * \begin{bmatrix} 1 & 2 & 1 \\ 2 & 4 & 2 \\ 1 & 2 & 1 \end{bmatrix}$$

Eksempel: Gradient-beregning med Sobel-operatoren



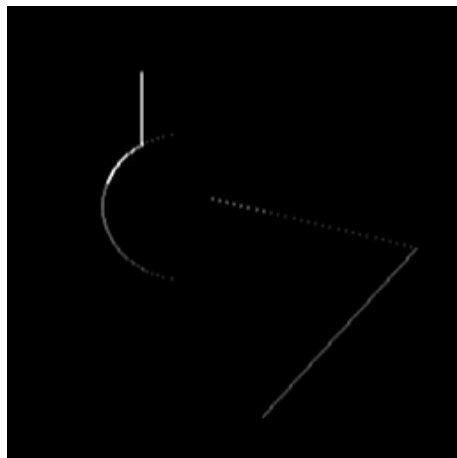
Inn-bilde f



$g_x = f^*h_x$



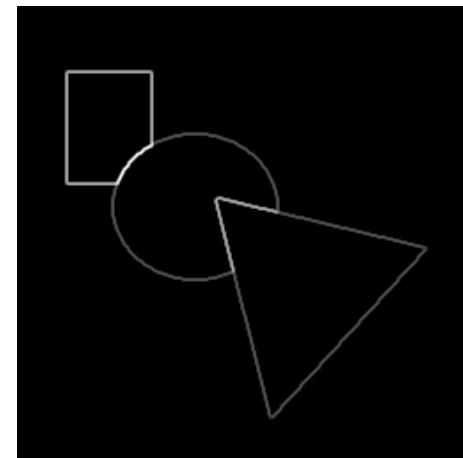
g_x^2



$g_y = f^*h_y$



g_y^2



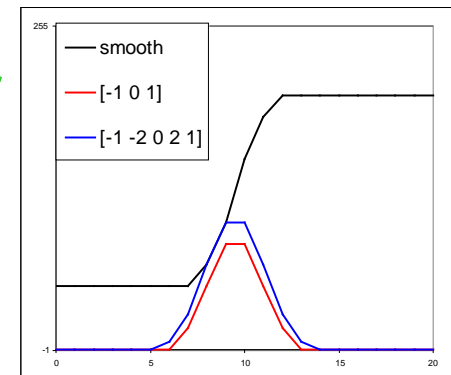
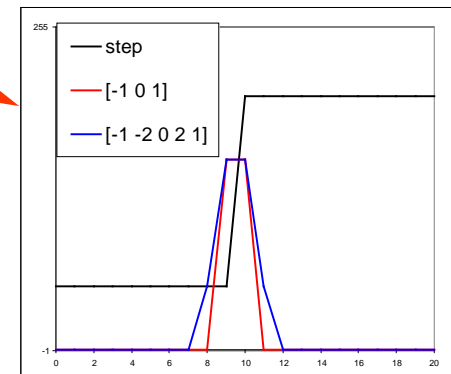
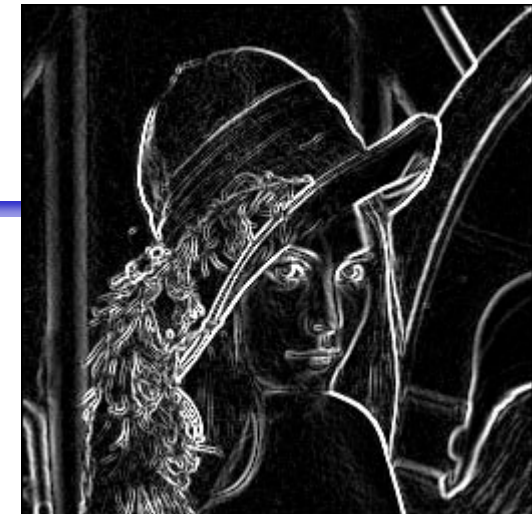
$(g_x^2 + g_y^2)^{1/2}$

Merk:
Hvert bilde
er skalert
ved å dele
på sitt
maksimum.
De negative
verdiene i
 g_x og g_y
er satt til 0.

Gradient til kant-deteksjon

- Gradient-magnituden har «bred respons», men vi ønsker eksakt, tynn kant.

- For en steg-kant:
 - Bredden på responsen er avhengig av størrelsen på filteret.
- For en bred kant (glattet med $[1 \ 2 \ 3 \ 2 \ 1]$):
 - Bredden på responsen er avhengig av bredden på kanten.



Maksimumet er likt og fornuftig lokalisert!

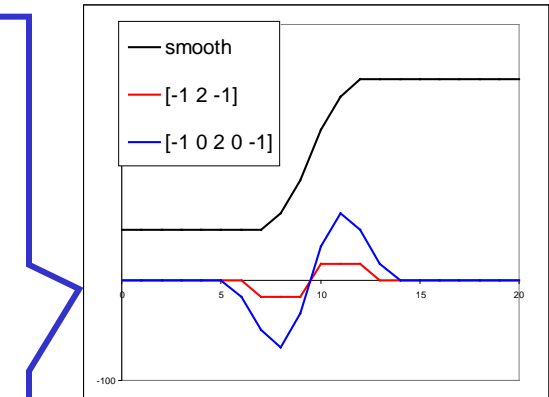
– Bruke den andrederiverte til å finne maksimumene?

Laplace-operatoren

- Laplace-operatoren er gitt ved:

$$\nabla^2 f = \frac{\partial^2 f}{\partial x^2} + \frac{\partial^2 f}{\partial y^2}$$

- Den endrer fortegn der f et vendepunkt.
- $\nabla^2 f = 0$ markerer kant-posisjon.
- $|\nabla^2 f|$ har to ekstremverdier per kant; på starten og på slutten av kanten.
 - Derfor brukte vi den tidligere til å forbedre bildeskarpheten!



- Kantens eksakte posisjon er nullgjennomgangen.
- Dette gir tynne kanter.
- Vi finner bare kant-posisjoner, ikke kant-retninger.

Også lavpassfiltrere?

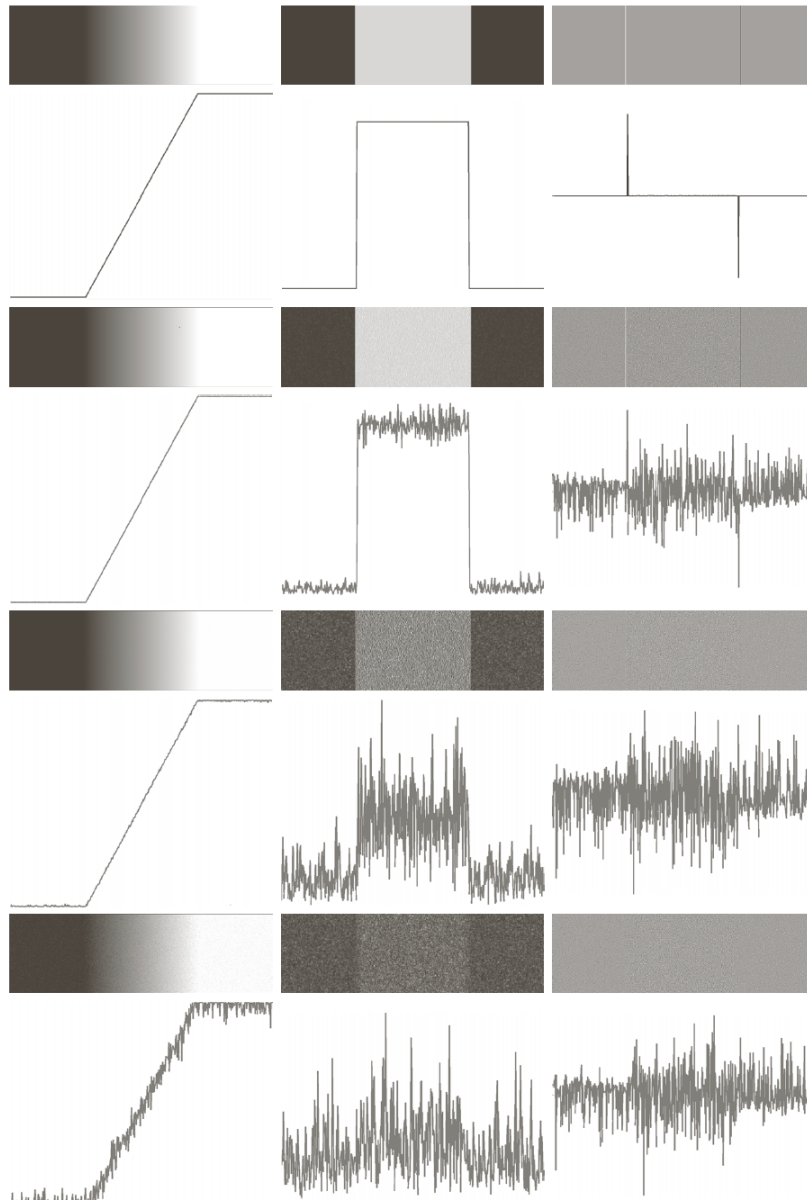


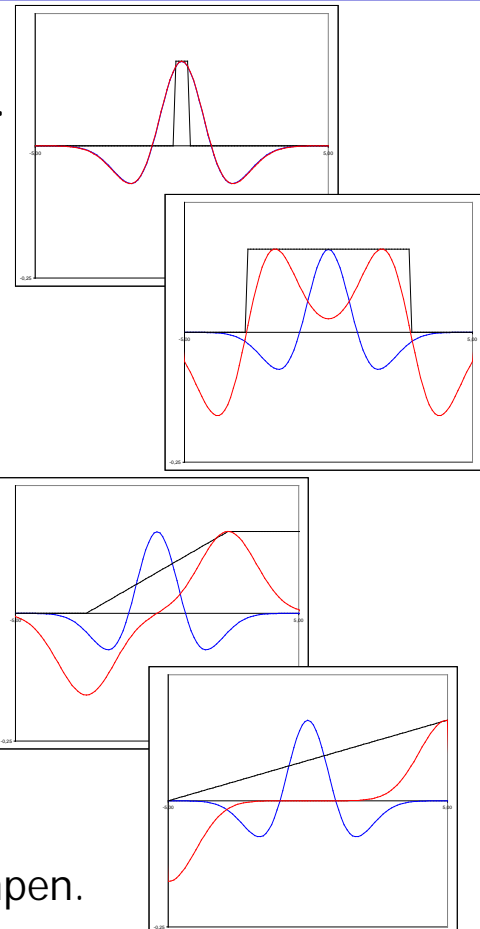
FIGURE 10.11 First column: Images and intensity profiles of a ramp edge corrupted by random Gaussian noise of zero mean and standard deviations of 0.0, 0.1, 1.0, and 10.0 intensity levels, respectively. Second column: First-derivative images and intensity profiles. Third column: Second-derivative images and intensity profiles.

To måter å lage LoG-operatorer

- Ofte lages og implementeres en LoG-operator som konvolusjonen av en Laplace-operator og et Gauss-filter.
- Ofte defineres en **LoG-operator** som en **sampling av LoG-funksjonen**, som er resultatet av å anvende Laplace-operatoren på Gauss-funksjonen i det **kontinuerlige domenet**.
- Disse fremgangsmåtene gir generelt ikke *helt* like filtre, men begge resulterer i filtre vi kaller LoG-operatorer.

Kantdeteksjon ved LoG-nullgjennomganger

- Tommelfingerregel for strukturer:
LoG-kjernen må være smalere enn strukturen.
 - Strukturen er mindre enn halvparten av LoG-kjernen
=> Nullgjennomgangene er utenfor kantskillene
 - Strukturen er større enn halvparten av LoG-filteret
=> Nullgjennomgangene er nøyaktig kantskillene
 - Et sted i mellom: Avhenger av diskretiseringen og tilnærmingen av LoG-filteret.
- Tommelfingerregel for ramper:
LoG-filteret må være større enn rampen.
 - Rampen er bredere enn LoG-filteret,
=> Ingen nullgjennomgang, bare et null-platå.
 - Ellers: Nullgjennomgang midt på rampen
(kan få én 0-respons akkurat på midten),
altså en fornuftig definisjon av kantsillet til rampen.
 - P.g.a. støy krever ofte at nullpasseringen er skarp
=> LoG-filteret må være betydelig større enn rampen.
- => **Velg kjerne- og filterstørrelsen med omhu!**
 - Angis først og fremst av standardavviket til Gauss-funksjonen,
som gir bredden av LoG-kjernen og antyder størrelsen av LoG-filteret.



Ideen til Canny

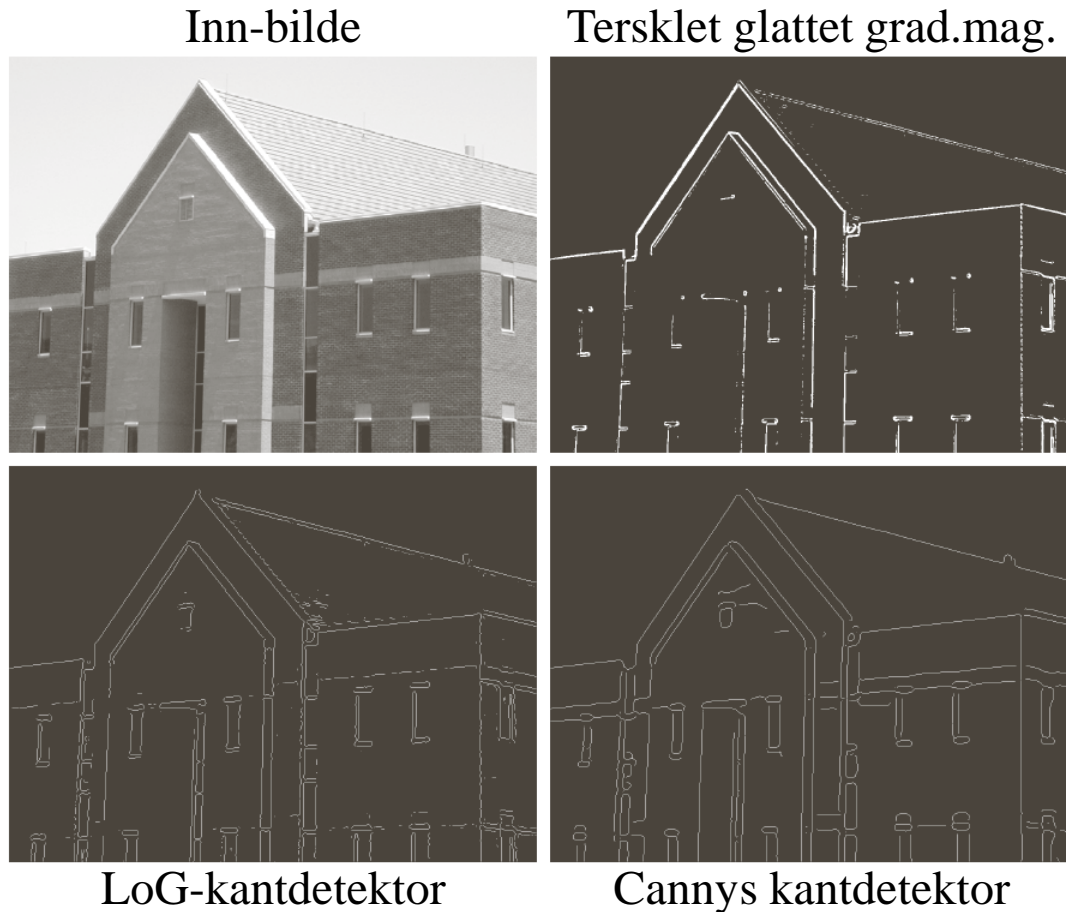
- Lag en kantdetektor som er optimal i forhold til følgende tre kriterier:
 - Best mulig deteksjon (alle kanter og bare kanter)
 - God kant-lokalisering
 - Én enkelt respons
- Optimer ved bruk av et bilde med støy.
- Resultat: Følgende enkle algoritme oppnår nesten optimumet:

Cannys algoritme

1. Lavpassfiltrer med Gauss-filter (med gitt σ).
2. Finn gradient-magnituden og gradient-retningen.
3. Tynning av gradient-magnitude ortogonalt på kant.
 - F.eks.: Hvis et piksel i gradient-magnitude-bildet har en 8-nabo i eller mot gradient-retningen med høyere verdi, så settes pikselverdien til 0.
4. Hysterese-terskling (to terskler, T_h og T_l) :
 - a. Merk alle piksler der $g(x,y) \geq T_h$
 - b. For alle piksler der $g(x,y) \in [T_l, T_h]$:
 - Hvis (4 eller 8)-nabo til et merket piksel, så merkes dette pikselet også.
 - c. Gjenta fra trinn b til konvergens.

Eksempel: Kantdeteksjon

- Oppgave:** Finn fremtredende kanter.



a b
c d

FIGURE 10.25
(a) Original image of size 834×1114 pixels, with intensity values scaled to the range $[0, 1]$.
(b) Thresholded gradient of smoothed image.
(c) Image obtained using the Marr-Hildreth algorithm.
(d) Image obtained using the Canny algorithm. Note the significant improvement of the Canny image compared to the other two.